

Эксперимент HERMES. Наиболее важные и (почти) окончательные результаты

Цель эксперимента-
исследование
спиновых
структурных
функций нуклона
(адронов вообще),
проблема
« спинового кризиса»

ПИЯФ

С.Белостоцкий
Д.Веретенников
В.Вихров
Г.Гаврилов
О.Гребенюк
А.Жгун
А.Изотов
А.Киселев
П.Кравченко
А.Крившич
С.Манаенков
О.Миклухо
Ю.Нарышкин
Ю.Санжиев

+

Отд.трек.дет.
Лаб.крио.тех.
КБ
Инст.Ефремова

Эксперимент HERMES. Наиболее важные и (почти) окончательные результаты

Цель эксперимента-
исследование
спиновых
структурных
функций нуклона
(адронов вообще),
проблема
« спинового кризиса»

ПИЯФ
анализ

С.Белостоцкий
Д.Веретенников
А.Киселев
П.Кравченко
С.Манаенков
Ю.Нарышкин

**Поляризованные
позитроны
(электроны)
27.6 ГэВ**

+

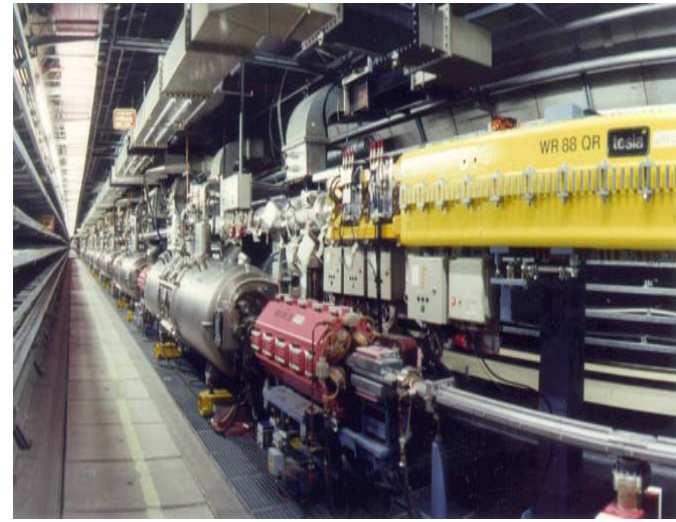
**поляризованные
 H или D мишени
поляризация 85%,
неполяризованные
ядерные мишени**

*Впервые реализована
идея само-поляризации
пучка электронов в
магнитном поле
ускорителя:*

HERA RING

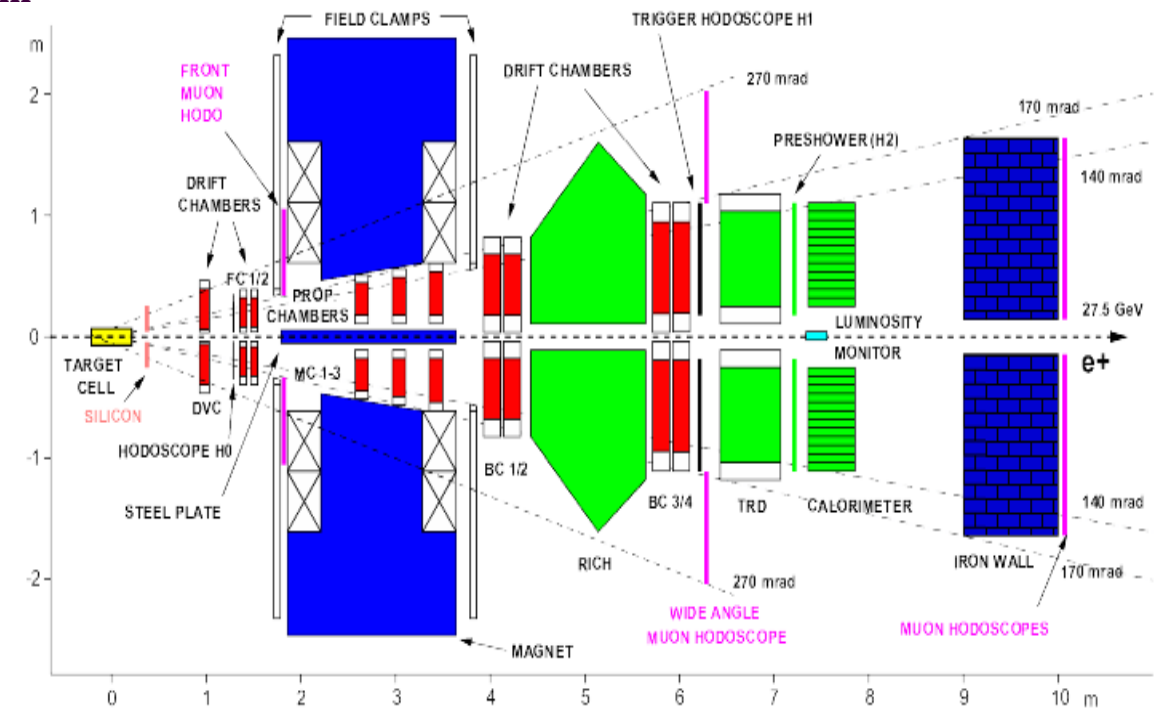
e longitudinally pol.

$P_{beam} \sim 50\%$



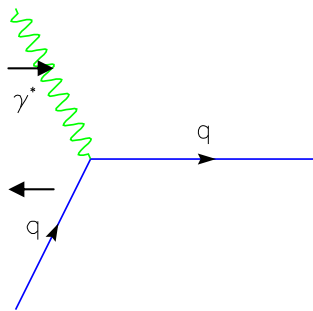
Hermes spectrometer

PID: 98% lepton identification
Excellent separation of
 π , K and p

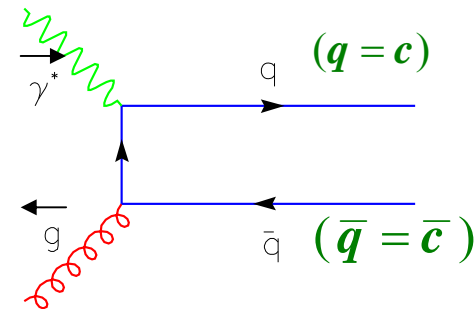


Извлечение поляризации夸克ов и глюонов

В поляризованном e, μ рассеянии на *продольно поляризованной мишени* доступ к поляризации夸克ов возможен в *DIS* через *LO* спиновые структурные функции, доступ к поляризации глюонов через **PGF** механизм (*NLO*)



DIS LO



PGF NLO

$$A_{LL}(x) \propto \frac{\Delta q(x)}{q(x)} = \frac{\vec{q}(x) - \vec{\bar{q}}(x)}{\vec{q}(x) + \vec{\bar{q}}(x)}$$

$$A_{LL}(x) \propto \frac{\Delta g(x)}{g(x)}$$

Спиновые структурные функции и правило сумм

$$S_z = \frac{1}{2} = \frac{1}{2} \Delta\Sigma + \Delta G + L_q + L_g$$

$$\Delta\Sigma = \Delta u + \Delta d + \Delta s + \bar{\Delta u} + \bar{\Delta d} + \bar{\Delta s}$$

Phys. Rev. D 75 (2007) 012007

Phys. Rev D 71 (2005) 012003

$$\Delta\Sigma = 0.12 \pm 0.09 \pm 0.14$$

Спиновые структурные функции夸克ов $\Delta u(x), \Delta d(x), \dots$
измеряются по асимметрии на продольно поляризованной мишени.

Inclusive DIS

$$\bar{e} + \bar{d} \rightarrow e^+ + X$$

$$\Delta\Sigma = 0.33 \pm 0.02(\text{exp}) \pm 0.03(\text{theo})$$

Semi inclusive DIS

$$\bar{e} + \bar{p}(\bar{d}) \rightarrow e^+ + h + X$$

$$\Delta\Sigma = 0.359 \pm 0.026(\text{exp}) \pm 0.018(\text{theo})$$

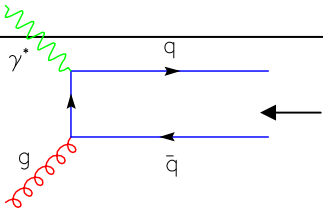
В очень хорошем согласии с
COMPASS результатом

evaluated at $0.021 < x < 0.6$

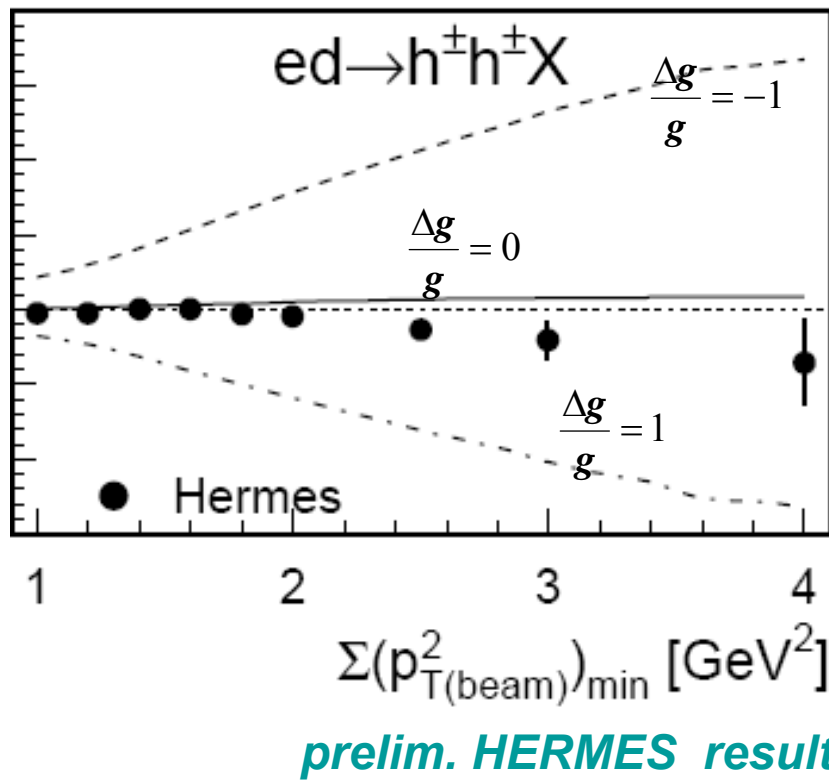
$$(\alpha_s = 0.29 \pm 0.01 \quad Q_0^2 = 2.5 \text{ GeV}^2)$$

inclusive результат окончательный, semi inclusive анализ завершается

Gluon polarization update



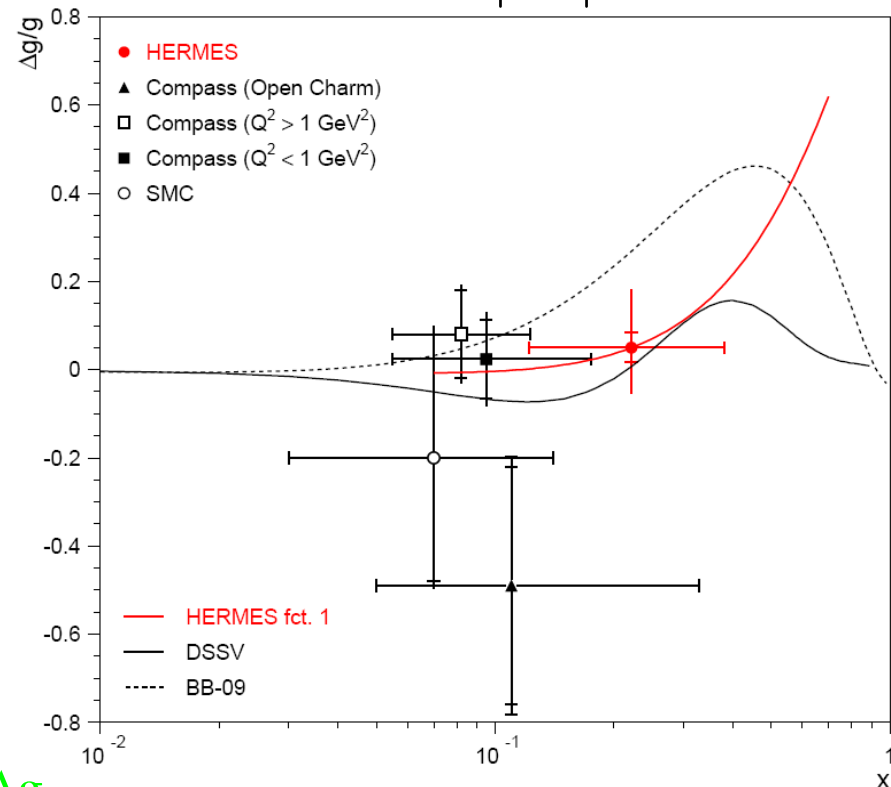
Доминирует при больших P_T



$$0.049 \pm 0.034 (\text{stat}) \pm 0.010 (\text{sys-exp})^{+0.126}_{-0.099} (\text{sys-models}) \text{ at } \langle x \rangle = 0.22 \text{ and } \langle \mu^2 \rangle = 1.35 \text{ GeV}^2.$$

JHEP 08 (2010) 130

RHIC constrain $|\Delta G| \leq 0.2$

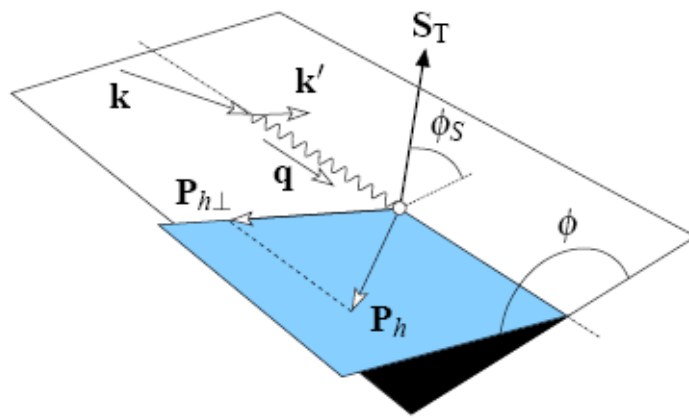


$$\frac{\Delta g}{g} = 0.078 \pm 0.034 \pm 0.011$$

Результат окончательный

Поперечно поляризованная мишень, transversity, Sivers DF, Collins FF

Phys. Lett. B 693 (2010) 11-16

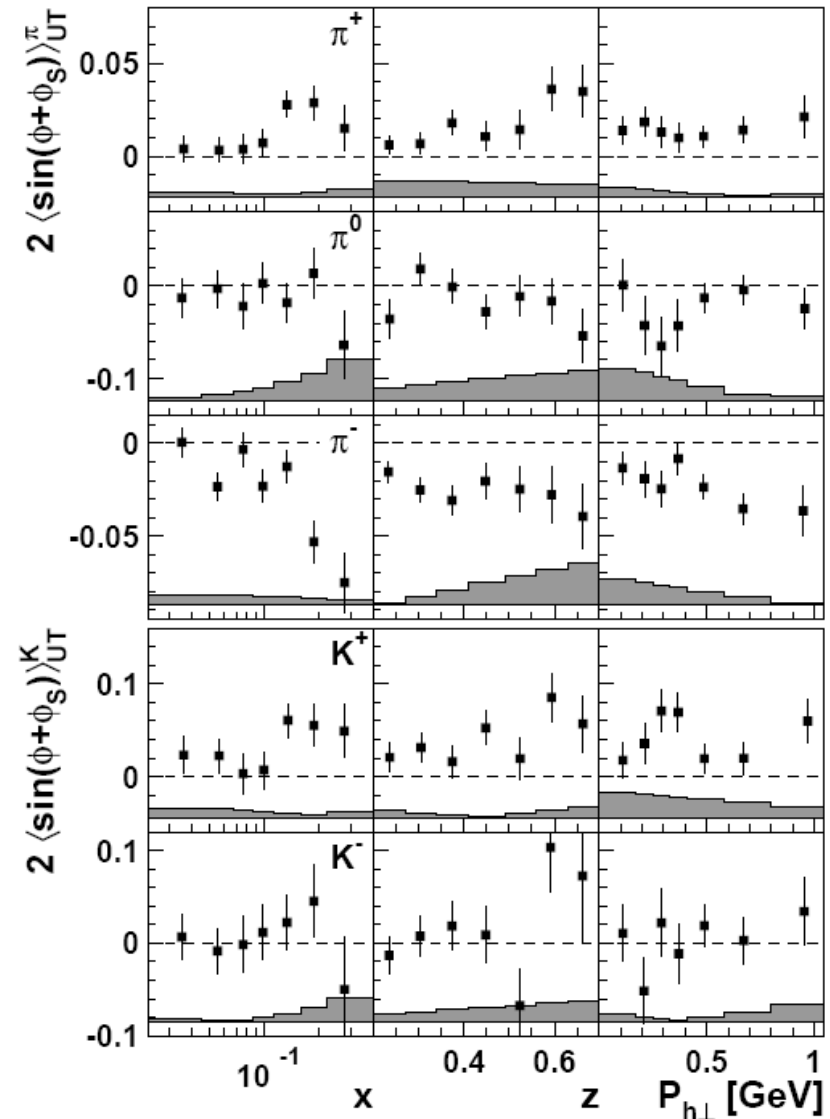


$$\langle \sin(\phi + \phi_S) \rangle^{\pi, K}$$

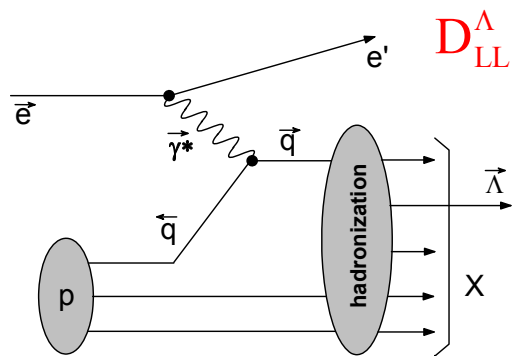
$$\propto S_T \sum_q e_q^2 \mathbf{h}_{1T}^q(x, P_T^2) \cdot \mathbf{H}_1^{\perp q}(z, k_T^2)$$

$\langle \sin(\phi - \phi_S) \rangle$ *Sivers DF*

corr. quark spin with P_T



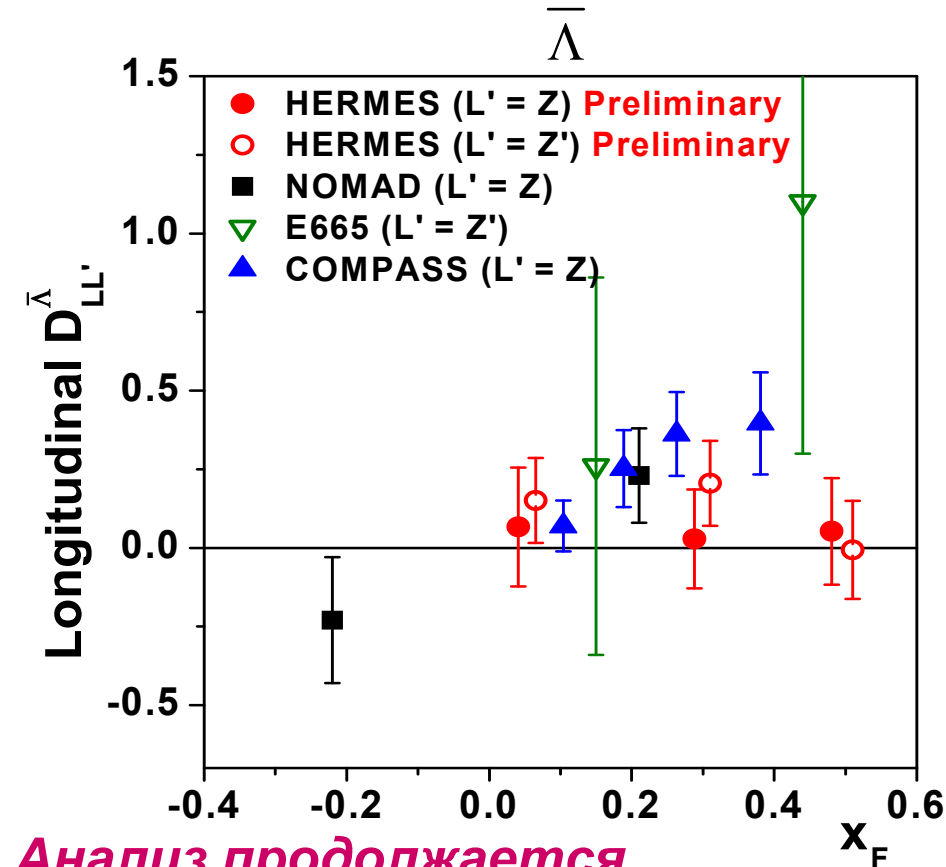
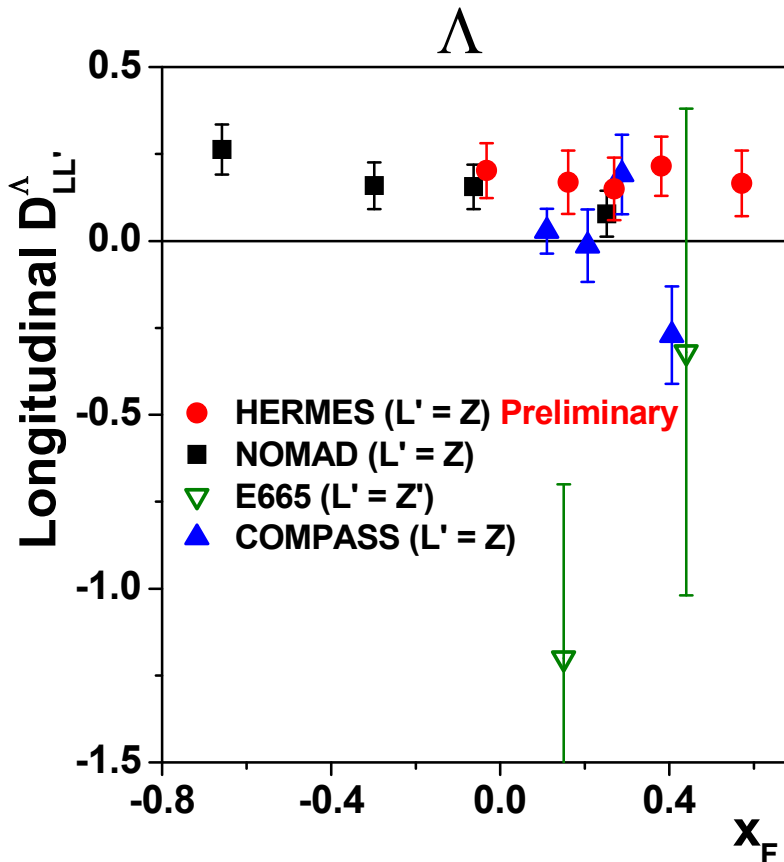
Передача спина Λ и анти Λ гиперону DLL



$$D_{LL}^{\Lambda}(x, z, Q^2) = \sum_f D_{LL}^{f \rightarrow \Lambda}(z, Q^2) \omega_p^{f \rightarrow \Lambda}(x, z, Q^2)$$

Phys. Rev. D 74 (2006)
Phys. Rev. D64 (2001)

$$D_{LL}^{f \rightarrow \Lambda} = \frac{F_{f\uparrow}^{\Lambda\uparrow} - F_{f\uparrow}^{\Lambda\downarrow}}{F_{f\uparrow}^{\Lambda\uparrow} + F_{f\uparrow}^{\Lambda\downarrow}} = \frac{\Delta F_f^\Lambda}{F_f^\Lambda} \quad \Rightarrow \quad \left\{ \begin{array}{l} \text{спиновая} \\ \text{структура} \\ \text{ламбда} \\ \text{гиперона} \end{array} \right.$$



Анализ продолжается

Электророждение векторных мезонов, SDME для ρ^0

Механизм реакции и структура VM

EPJ C 71 (2011) 1609

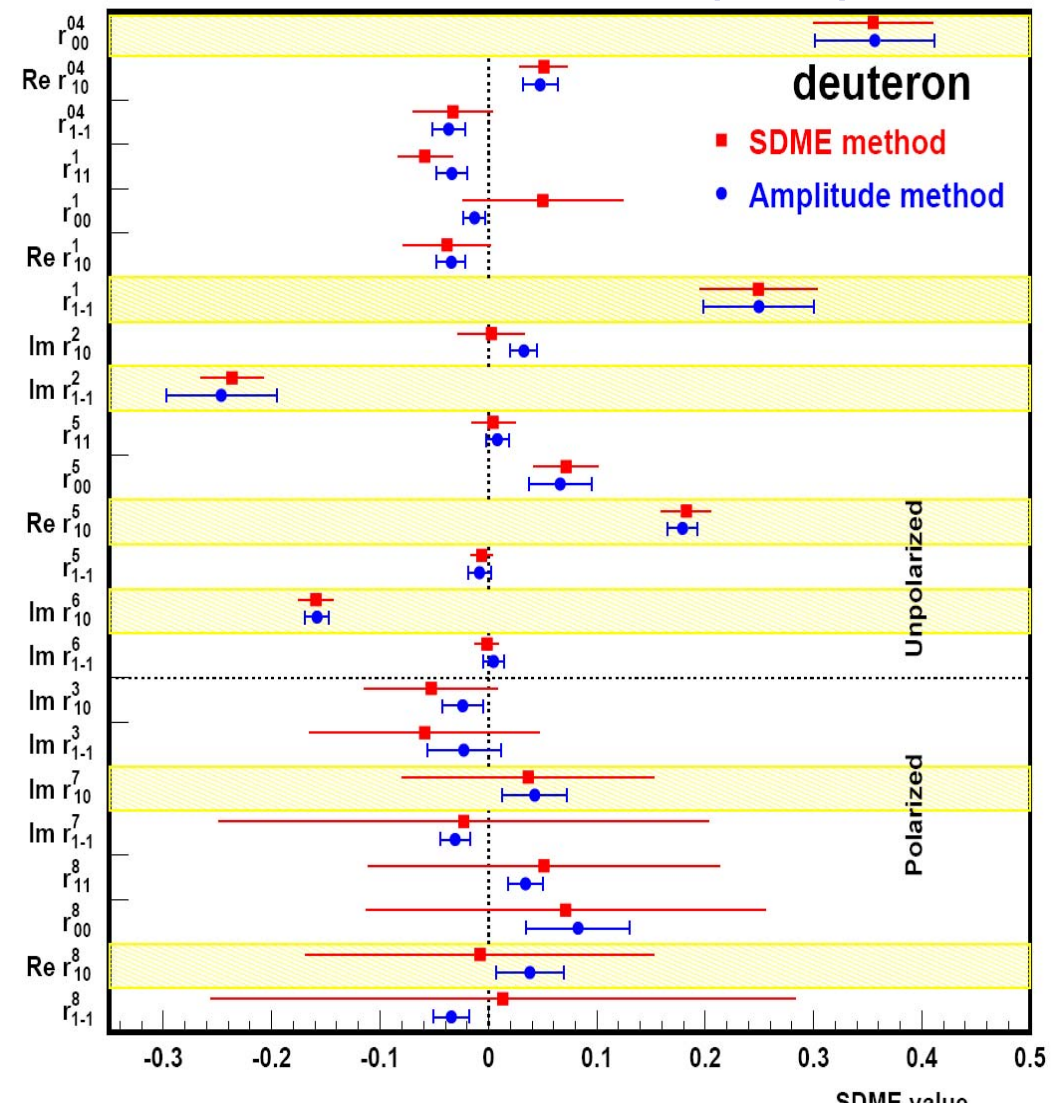
$$\vec{e} \rightarrow e' + \vec{\gamma}^*$$



$$\{3 \times 3\}_\gamma \cdot \{2 \times 2\}_N \Rightarrow \{3 \times 3\}_V \cdot \{2 \times 2\}_{N'}$$

Virtual
Photon
SM
известна
из к.э.д.

V-meson
SM
измеряется
эксперименте



Анализ продолжается

заключение

Эксперимент HERMES внес большой вклад в исследование структуры нуклонов (адронов):

- окончательный результат $\Delta\Sigma$ кварков
- оценка поляризации глюонов $\Delta G / G$
- эффекты поперечного спина, *Collins, Sivers*
- DVC_s и обобщенные партонные распределения
- Электророждение VM
- поляризация и передача спина Λ гиперону

Эксперимент HERMES заканчивает свою
активную деятельность в 2012 году

Благодарности

Klaus Rith, ПИЯФ, DESY, МИННАУКА

BACKUP SLIDES

Группа ПИЯФ в HERMES анализе

Полина Кравченко спиновые структурные функции, получение окончательных результатов с учетом всех возможных поправок

Сергей Манаенков Поляризационные параметры в рождении векторных мезонов; ρ, φ, ω SDME, инвариантные амплитуды

Денис Веретенников , Юрий Нарышкин, Станислав Белостоцкий
Параметры передачи спина DLL, KLL Λ и анти- Λ гиперону;
Поперечная поляризация;
Ядерные эффекты в рождении гиперонов

Александр Киселев
Обработка сырых данных. Модернизация кода восстановления треков.

конференции 2009-2011

2009

Ю.Г.Нарышкин "A-dependence of the transverse Lambda polarisation"
European Nuclear Physics Conference (ENPC09)
Mar 16 - 20, 2009 Bochum, Germany

Ю.Г.Нарышкин "Lambda Physics at HERMES"
XIII Workshop on High Energy Spin Physics (DSPIN09)
Sep 1 - 5, 2009 Dubna, Russia

П. Кравченко "Hermes measurements of strange quark helicity distributions"
European Nuclear Physics Conference (EuNPC)
March 16-20, 2009 , Bochum

С.И.Манаенков "Exclusive Electroproduction of ρ^0 , ϕ , and ω Mesons at HERMES"
XIII Workshop on High Energy Spin Physics (DSPIN09)
Sep 1 - 5, 2009 Dubna, Russia

2010

С.И.Манаенков "Direct Extraction of Helicity Amplitude Ratios in Exclusive ρ^0 Electroproduction". XVIII International Workshop on Deep-Inelastic Scattering and Related Subjects (DIS2010),
19-23 April, Florence, Italy
С.И.Манаенков "DIRECT EXTRACTION OF HELICITY AMPLITUDE RATIOS IN EXCLUSIVE ρ^0 ELECTROPRODUCTION". International Workshop "Hadron Structure and QCD (HSQCD2010)", Gatchina 5-9 July, 2010, Russia

Ю.Г.Нарышкин "Lambda polarization at HERMES"
IX International Conference on Hyperons, Charm and Beauty Hadrons
21-26 June 2010, AulaMagna, University of Perugia Perugia, Italy

Ю.Г.Нарышкин "Measurement of the nuclear-mass dependence of spontaneous (transverse) Λ polarisation in quasi-real photoproduction at HERMES"

SPIN2010 –19th International Spin Physics Symposium
September 27 –October 2, 2010, Jülich, Germany

Д.О.Веретенников "SPIN Transfer Coefficient DLL to Lambda Hyperon in SIDIS at HERMES".

SPIN2010 –19th International Spin Physics Symposium
September 27 –October 2, 2010, Jülich, Germany

2011

П.Кравченко "HERMES results on quark helicity
Distributions of the nucleon from deep-inelastic scattering".

PANIC11 2011 Boston, USA

С.Манаенков "Helicity and Invariant Amplitudes for Exclusive Vector-Meson Electroproduction".

Spin Physics in Dubna (DSPIN-11), September 20-24 2011

С.Белостоцкий "Spin transfer to lambda and anti lambda hyperon at HERMES"

XIX International Workshop on Deep-Inelastic Scattering and Related Subjects (DIS 2011) Apr 10 - 15, 2011 Newport News, VI, USA

"

**Поляризованные
позитроны
(электроны)
27.6 ГэВ**

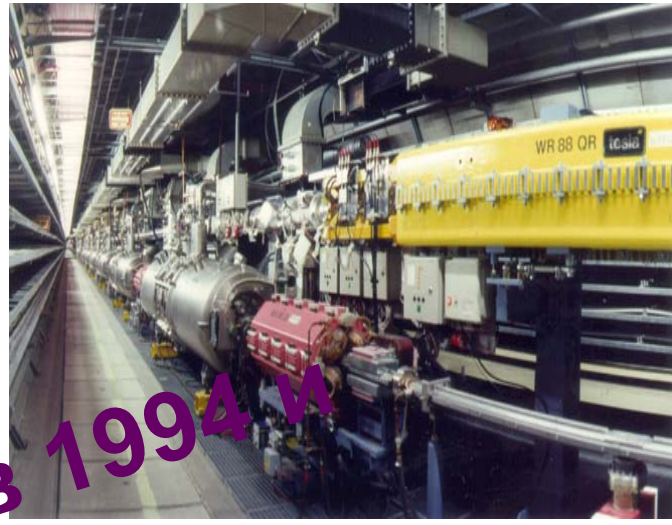
+

**поляризованные
Н или D мишени
поляризация 85%,
неполяризованные
ядерные мишени**

**Впервые реализована
идея само-поляризации
пучка электронов в
магнитном поле
ускорителя:**

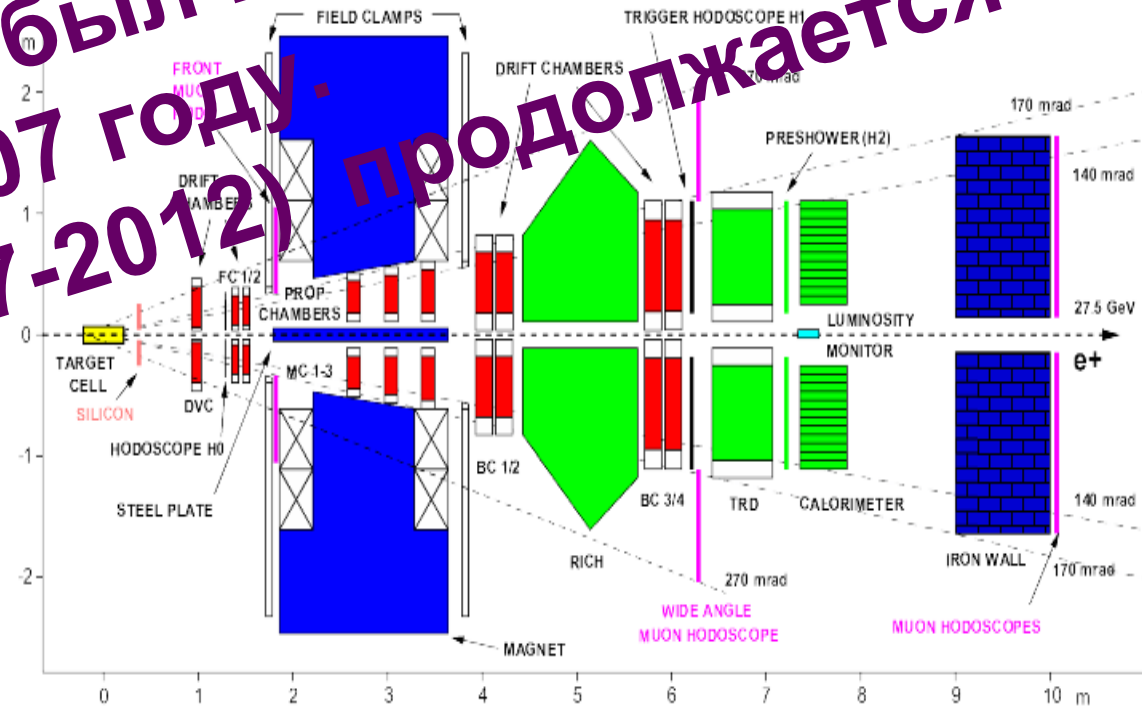
HERA RING

$P_{beam} \sim 50\%$



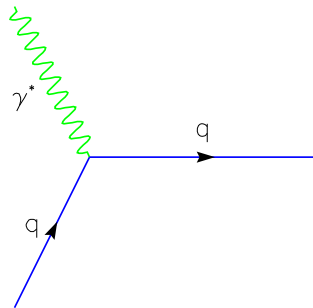
**Набор данных был начат в 1994 и
закончен в 2007 году.
(2007-2012) продолжается**

Hermes spectrometer
PID: 98% lepton
identification
Excellent
separation of
 π , K and p



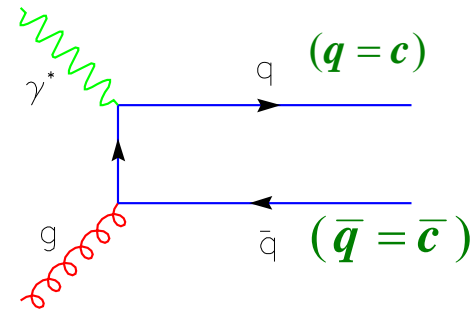
Извлечение поляризации глюонов

В поляризованном e, μ рассеянии (NLO), доступ к ΔG возможен через **PGF** механизм



DIS LO

$$A_{LL} \sim \frac{\Delta q}{q}$$



PGF NLO

$$A_{LL} \sim \frac{\Delta g}{g}$$

PGF доминирует в **OPEN CHARM PRODUCTION**,
хороший сигнал, но недостаток статистики.

**Другая возможность- отбор событий с большими
 P_T для адронов**

Transverse spin effects

*HERMES measured transverse spin effects
in semi-inclusive π^\pm, π^0, K^+, K^- production related to*

- ✓ **longitudinal beam polarization** $\Rightarrow A_{LU}(\Phi)$
 - ✓ **longitudinal target polarization** $\Rightarrow A_{UL}(\Phi)$
 - ✓ **transverse target polarization** $\Rightarrow A_{UT}(\Phi, \Phi_s)$
- access to*
 $\delta q(x) = q^\uparrow(x) - q^\downarrow(x)$
Collins FF, Sivers DF

*Deep Virtual Compton
Scattering DVCs,
Hard exclusive meson
production*

*GPD,
access to
quark orbital
momentums*
 J_q

The HERMES collaboration from 1994



A second generation experiment
designed to study the spin structure
of the nucleon at HERA

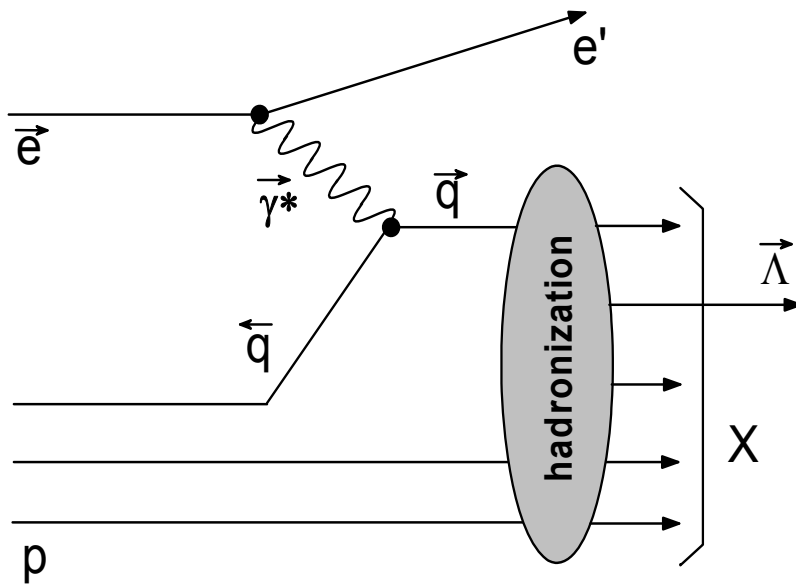
Alberta	Freiburg	Munich	Bari
Argonne	Gent	N. Mex. St.	Beijing
Cal Tech	Illinois	NIKHEF	Hefei
Colorado	JINR, Dubna	Pennsylvania	Giessen
DESY, Ham.	Kentucky	Rome	Glasgow
DESY, Zeuthen	Liverpool	St. Petersburg	Michigan
Erlangen	Marburg	Tokyo	Protvino
Ferrara	MIT	TRIUMF	Regensburg
Florida Int.	Moscow	Wisconsin	Uni. Amsterdam
Frascati	MPI, Heidelberg	Yerevan	Warsaw

*Наиболее важные
окончательные
результаты и
работы в стадии
завершения*

Longitudinal spin transfer DLL'

$$\vec{e} + p, d \Rightarrow e' + \bar{\Lambda} + X$$

Valid only for current fragmentation !!



$$P_{L'}^A = D_{LL'}^A \cdot P_L^q$$

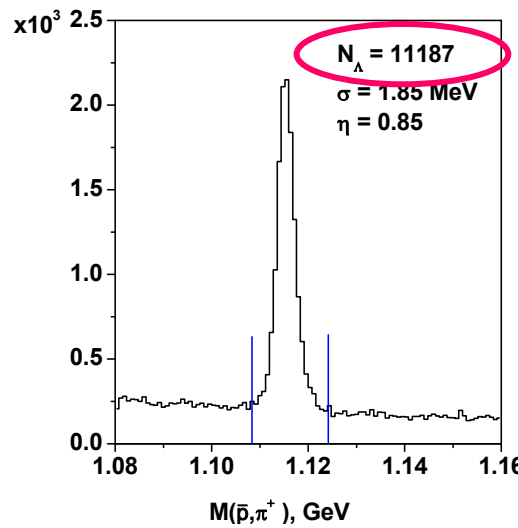
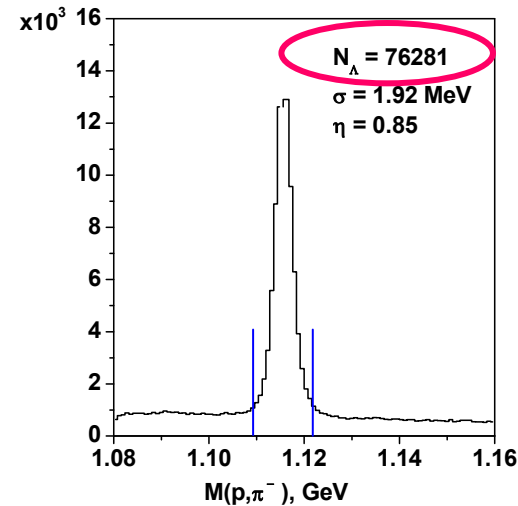
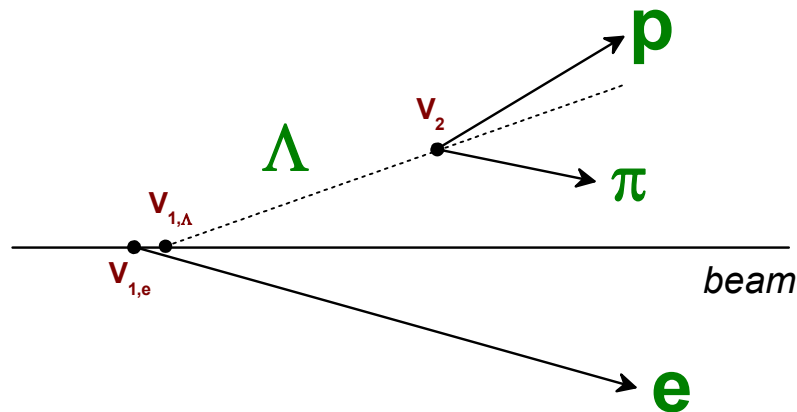
$$D_{LL'}^A = \sum_q \omega_q \cdot D_{LL'}^{qA} \approx \sum_q \omega_q \frac{\delta q^A}{q^A}$$

Lambda spin structure

$$SU(3)_f \rightarrow \frac{\delta u}{u} = \frac{\delta d}{d} = -0.16 \quad \frac{\delta s}{s} = 0.64$$

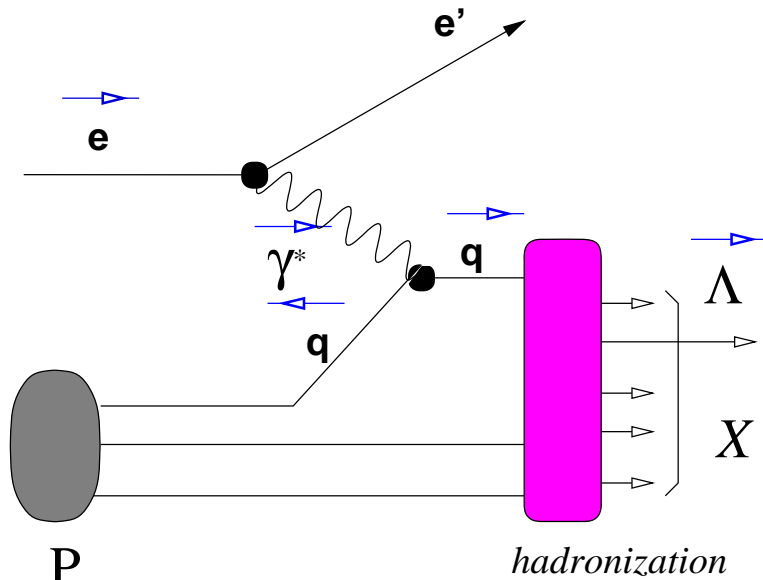
$$Lattice calculations \rightarrow \frac{\delta u}{u} = \frac{\delta d}{d} = -0.02 \pm 0.04 \quad \frac{\delta s}{s} = 0.68 \pm 0.04$$

Λ and $\bar{\Lambda}$ events selection



Longitudinal spin-transfer to Λ - hyperon

Phys Rev. D 2006



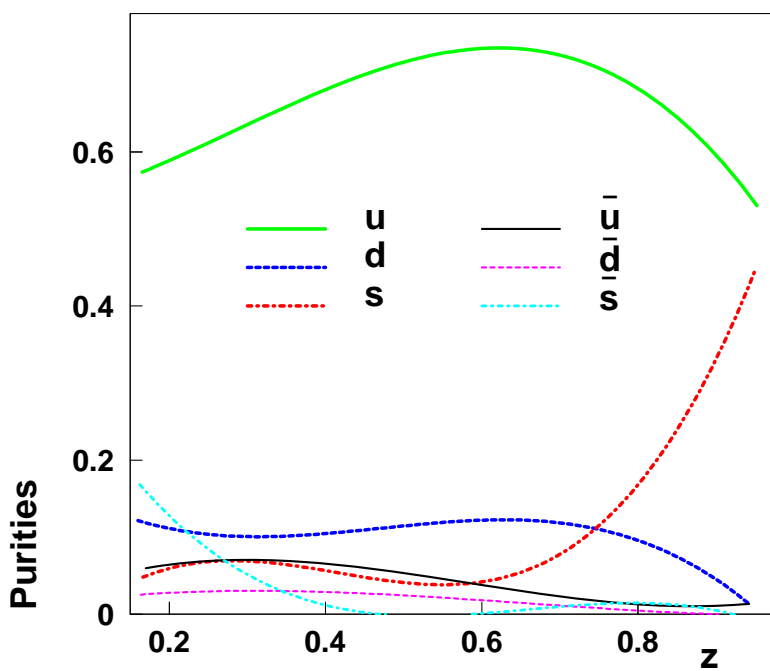
$$P_{L'}^A = P_b D(y) D_{LL'}^A$$

$$D_{LL'}^A(z) = \sum_q \tilde{P}_q(z) \cdot D_{LL'q}^A(z)$$

$$\tilde{P}_q(z) = \int \tilde{P}_q(x, z) dx$$

$$D_{LL'q}^A(z) = \frac{FF_q^{A\uparrow}(z) - FF_q^{A\downarrow}(z)}{FF_q^{A\uparrow}(z) + FF_q^{A\downarrow}(z)}$$

Partial spin - transfer



Due to strong u -dominance

$$D_{LL'}^A \approx \frac{\Delta u^A}{u^A}$$

Поляризация и передача спина Λ и анти Λ гиперону

**Semi Inclusive DIS
at $Q^2 > 0.8 \text{ GeV}^2$**

$$\begin{array}{l} \vec{e} + p(d) \Rightarrow e' + \bar{\Lambda} + X \\ \Rightarrow e' + \bar{\bar{\Lambda}} + X \end{array} \quad \begin{array}{l} \bar{\Lambda} \Rightarrow p + \pi^- \\ \bar{\bar{\Lambda}} \Rightarrow \bar{p} + \pi^+ \end{array} \quad \vec{P}_\Lambda = \vec{D}_\Lambda P_{\text{quark}} \quad P_{\text{quark}} = D(y) P_B$$

For the first time 3-d analysis

Phys. Rev. D76 (2007) 092008

Phys. Rev. D 74 (2006) 072004

Phys. Rev. D64 (2001) 112005

Various Λ -spin structure tests

Constituent quark model (CQM)

$$\Delta u = \Delta d = 0, \quad \Delta s = 1$$

Lattice QCD

$$\Delta u = \Delta d = -0.02 \pm 0.04, \quad \Delta s = 0.68 \pm 0.04$$

$SU(3)$ flavor symmetry

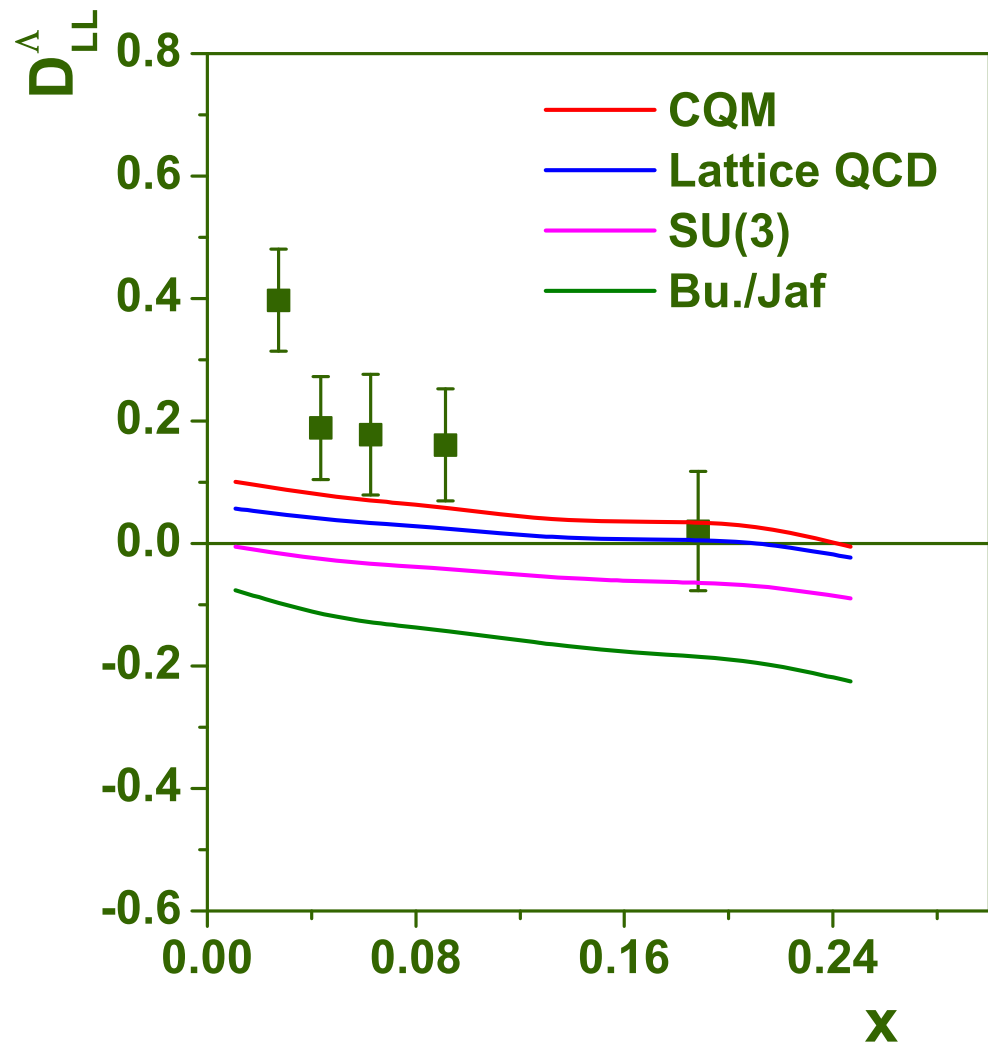
$$\Delta u = \Delta d = -0.09 \pm 0.06, \quad \Delta s = 0.47 \pm 0.07$$

Burkard/Jaffe

$$\Delta u = \Delta d = -0.23 \pm 0.06, \quad \Delta s = 0.58 \pm 0.07$$

$$\Sigma(1193) \rightarrow \Lambda\gamma, \quad \Sigma(1385), \Xi \rightarrow \Lambda\pi$$

are to be taken into account !!



ΔG from HERMES hadron high PT data

ΔG is poorly known till now. In principle , it can be accessed by investigating NLO structure function $g1$:

E155, SMC → pQCD fit to NLO $g1$
/J.Bluemlein,M.Hirai,D.de Florian,Leader et al/

Unfortunately , the results obtained are very uncertain:

$$\Delta G(x, Q^2) = \int_0^1 \Delta g(x, Q^2) dx \approx (0.5 \text{ to } 1) \pm 1$$

Δg may be also accessed in polarized pp collisions,

e.g. A_{LL} in $\vec{p}\vec{p} \Rightarrow \pi^0 X$ is sensitive to $\frac{\Delta g}{g}$



PHENIX&STAR new results are expected

Another option to enhance PGF mechanism is detection of hadrons with high PT.

$$A_{LL}^{meas}(p_T) = \sum_i R_i(p_T) a_{LL}^i(p_T) \quad i - subprocess$$

$R_i(p_T)$ fraction of i -subprocess $\Leftarrow PYTHIA\ 6.2$

$a_{LL}^i(p_T)$ asymmetry of i -subprocess

$$a_{LL}(p_T) = \alpha_{LL}(s,t) \cdot \frac{\Delta f_a^\gamma(x_a, Q^2)}{f_a^\gamma(x_a, Q^2)} \cdot \frac{\Delta f_b^N(x_b, Q^2)}{f_b^N(x_b, Q^2)}$$

qq,gq, etc.
 calculable photon
 pol/unpol PDF nuclon
 pol/unpol PDF

For PGF $\alpha_{LL}(s,t) = \frac{\Delta\sigma_{\gamma g \rightarrow q\bar{q}}}{\sigma_{\gamma g \rightarrow q\bar{q}}}(s,t)$

Unknown gluon polarization

$$\frac{\Delta f_b^N(x_b, Q^2)}{f_b^N(x_b, Q^2)} \Rightarrow \frac{\Delta g_b^N(x_b, Q^2)}{g_b^N(x_b, Q^2)}$$

can be found using measured asymmetry $A_{LL}^{meas}(p_T)$

Evaluation of $\Delta\Sigma$

neglecting $\frac{\alpha_s(Q^2)}{2\pi}$

$$\Delta\Sigma = \mathbf{a}_0 = (\Delta\mathbf{u} + \Delta\bar{\mathbf{u}}) + (\Delta\mathbf{d} + \Delta\bar{\mathbf{d}}) + (\Delta\mathbf{s} + \Delta\bar{\mathbf{s}})$$

$$= \frac{9}{2}(\Gamma_p + \Gamma_n) - \mathbf{a}_8 = 9\Gamma_d / \left(1 - \frac{3}{2}\omega_d\right) - \mathbf{a}_8$$

$$\mathbf{a}_8 = 0.586 \pm 0.031$$

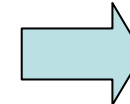
D-state
correction

$\Delta\Sigma$ evaluated at $\alpha_s = 0.29 \pm 0.01 \dots (\alpha_s^2)$

$$Q_0^2 \sim 5 \text{ GeV}^2 \quad \omega_d = 0.05 \pm 0.01 \quad 0.021 < x < 0.9 \quad a_8 = 3F - D = 0.586$$

Integral $\int_x^{0.9} g_1^d(x) dx$ at $x = 0.6 \rightarrow 0.02$ well saturated,

i.e., $\int_{0.021}^{0.9} g_1^d(x) dx \simeq \int_0^1 g_1^d(x) dx \equiv \Gamma_d$



talk M.Varanda

$\Delta\Sigma = 0.330 \pm 0.025(\text{exp.}) \pm 0.011(\text{theo.}) \pm 0.028(\text{evol.})$

EMC $\Delta\Sigma = 0.12 \pm 0.09 \pm 0.04$

COMPASS $\Delta\Sigma = 0.25 \pm 0.03$ Theo ≈ 0.6

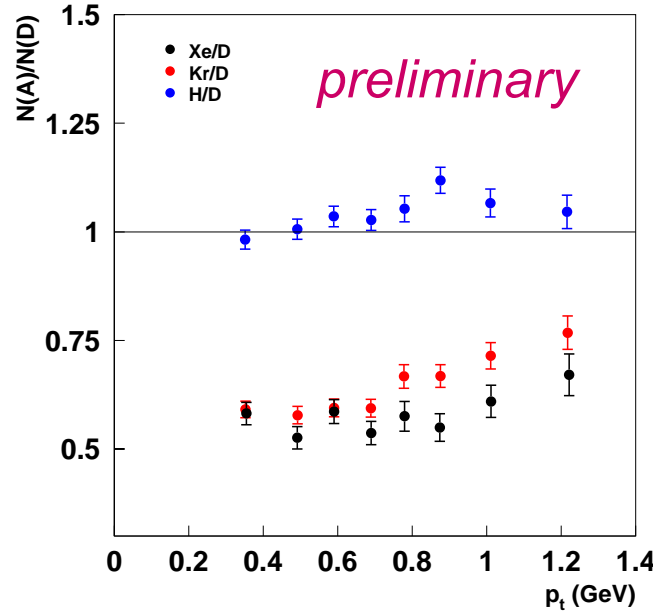
Strong A-dependence of Λ yields and transverse polarization in photoproduction

Ю. Нарышкин



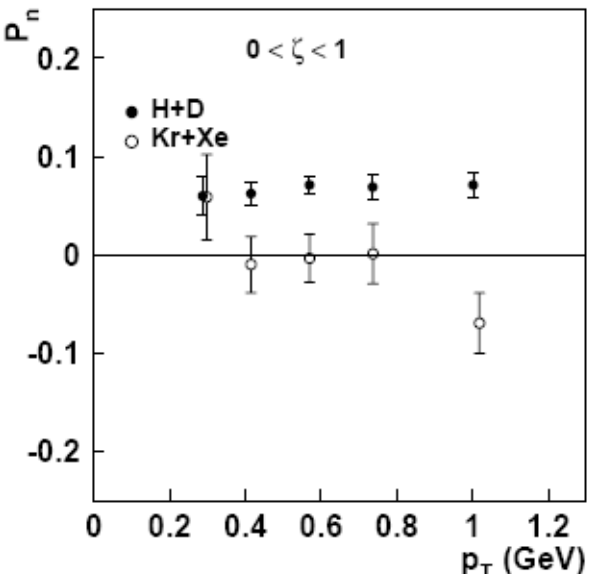
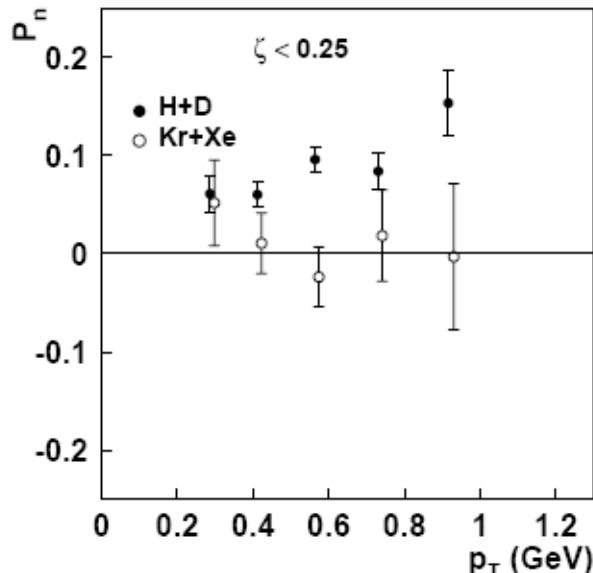
A = H, D, ${}^3\text{He}$, ${}^4\text{He}$, N, Ne, Kr and Xe

$$R_{\Lambda} = \frac{\left(\frac{N_{\Lambda}(A)}{A \cdot \text{Lumi}} \right)}{\left(\frac{N_{\Lambda}(D)}{2 \cdot \text{Lumi}} \right)} = \frac{\sigma_{\Lambda}(\gamma n(A) \rightarrow \Lambda X)}{\sigma_{\Lambda}(\gamma n \rightarrow \Lambda X)}$$



$L_{\gamma} \gg R_A$
pure
 Λ - absorption effect

In disagreement with hadron-hadron Lambda production



1. Measurement of azimuthal asymmetries associated with deeply virtual Compton scattering on a longitudinally polarized deuterium target

A. Airapetian et al, Nucl. Phys. B842 (2011) 265-298

Eprint numbers: arXiv:1008.3996 (hep-ex) and DESY-10-136

2. Leading Order Determination of the Gluon Polarization from high-pT Hadron Electropoproduction

A. Airapetian et al, JHEP 08 (2010) 130

Eprint numbers: arXiv:1002.3921(hep-ex) and DESY-10-021

3. Effects of transversity in deep-inelastic scattering by polarized protons

A. Airapetian et al, Phys. Lett. B 693 (2010) 11-16

Eprint numbers: arXiv:1006.4221 (hep-ex) and DESY-10-87

4. Exclusive Leptoproduction of Real Photons on a Longitudinally Polarised Hydrogen target

A. Airapetian et al, JHEP 06 (2010) 019

Eprint numbers: arXiv:1004.0177 (hep-ex) and DESY-10-046

5. Nuclear-mass dependence of beam-helicity and beam-charge azimuthal asymmetries in DVCS

A. Airapetian et al, Phys. Rev. C 81 (2010) 035202

Eprint numbers: arXiv:0911.0091 (hep-ex) and DESY-09-190

6. Transverse momentum broadening of hadrons produced in semi-inclusive deep-inelastic scattering on nuclei

A. Airapetian et al, Phys. Lett. B 684 (2010) 114-118

Eprint numbers: arXiv:0906.2478 (hep-ex) and DESY-09-082

7. Measurement of azimuthal asymmetries associated with deeply virtual Compton scattering on an unpolarized deuterium target

A. Airapetian et al, Nucl. Phys. B 829 (2010) 1-27

Eprint numbers: arXiv:0911.0095 (hep-ex) and DESY-09-189

Международные конференции (4-6 докладов от ПИЯФ в год)

2008

Кравченко П. "Measurement of Flavor Separated Quark Polarizations at HERMES"

International Conference DIFFRACTION 2008,
La Londe-les-Maures,
France September 9-14, 2008

Манаенков С. "Exclusive Electroproduction of ρ^0 and ϕ Mesons at HERMES"

International Workshop on Hadron Structure and QCD (HSQCD2008), Gatchina June 30 -July 04

Веретенников Д. "Spin transfer coefficient K_LL in Lambda photoproduction in HERMES"

16-th International Workshop DIS 2008,
London, 7-11 April 2008

Белостоцкий С. "Polarization in Lambda and Lambdabar production at HERMES".

"The 18th International Symposium on Spin Physics, Spin 2008 October 6 - 11, 2008 in Charlottesville, Virginia, USA

Белостоцкий С. "Lambda physics at HERMES"

ECT 2008 International Workshop "Strangeness polarization in semi-inclusive and exclusive Lambda production" Trento, November 2008

2009

Ю.Г.Нарышкин "A-dependence of the transverse Lambda polarisation"

European Nuclear Physics Conference (ENPC09)
Mar 16 - 20, 2009 Bochum, Germany

Ю.Г.Нарышкин "Lambda Physics at HERMES"

XIII Workshop on High Energy Spin Physics (DSPIN09)
Sep 1 - 5, 2009 Dubna, Russia

П. Кравченко "Hermes measurements of strange quark helicity distributions"

European Nuclear Physics Conference (EuNPC)
March 16-20, 2009 , Bochum

С.И.Манаенков "Exclusive Electroproduction of ρ^0 , ϕ , and ω Mesons at HERMES"

XIII Workshop on High Energy Spin Physics (DSPIN09)
Sep 1 - 5, 2009 Dubna, Russia

2010

С.И.Манаенков "Direct Extraction of Helicity Amplitude Ratios in Exclusive ρ^0 Electroproduction". XVIII International Workshop on Deep-Inelastic Scattering and Related Subjects (DIS2010),
19-23 April, Florence, Italy

С.И.Манаенков "DIRECT EXTRACTION OF HELICITY AMPLITUDE RATIOS IN EXCLUSIVE ρ^0 ELECTROPRODUCTION". International Workshop "Hadron

Structure and QCD (HSQCD2010)", Gatchina 5-9 July, 2010, Russia

Ю.Г.Нарышкин "Lambda polarization at HERMES"

IX International Conference on Hyperons, Charm and Beauty Hadrons
21-26 June 2010, AulaMagna, University of Perugia Perugia, Italy

Ю.Г.Нарышкин "Measurement of the nuclear-mass dependence of spontaneous (transverse) Λ polarisation in quasi-real photoproduction at HERMES"

SPIN2010 –19th International Spin Physics Symposium
September 27 –October 2, 2010, Jülich, Germany

Д.О.Веретенников "SPIN Transfer Coefficient DLL to Lambda Hyperon in SIDIS at HERMES".

SPIN2010 –19th International Spin Physics Symposium
September 27 –October 2, 2010, Jülich, Germany

Publication in progress

- Draft-84 "Ratios of Helicity Amplitudes for Exclusive ρ Electroproduction" С.Манаенков
- Draft- 83 "Study of nuclear medium effects on transverse Λ hyperon polarization
In quasi-real photoproduction" С.Белостоцкий
- Draft-88 "Spin Transfer Coefficient DLL to Λ and $\bar{\Lambda}$ Hyperons in Semi-Inclusive DIS
at HERMES experiment" С.Белостоцкий
- Draft-85 "An Exploration of kinematical dependences of longitudinal double-spin asymmetry
at HERMES" П.Кравченко

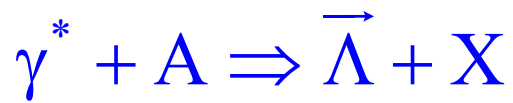
Защищенные диссертации
А. Жгун, Ю.Нарышкин, П.Кравченко

Грядущие диссертации

Д.Веретенников 2012

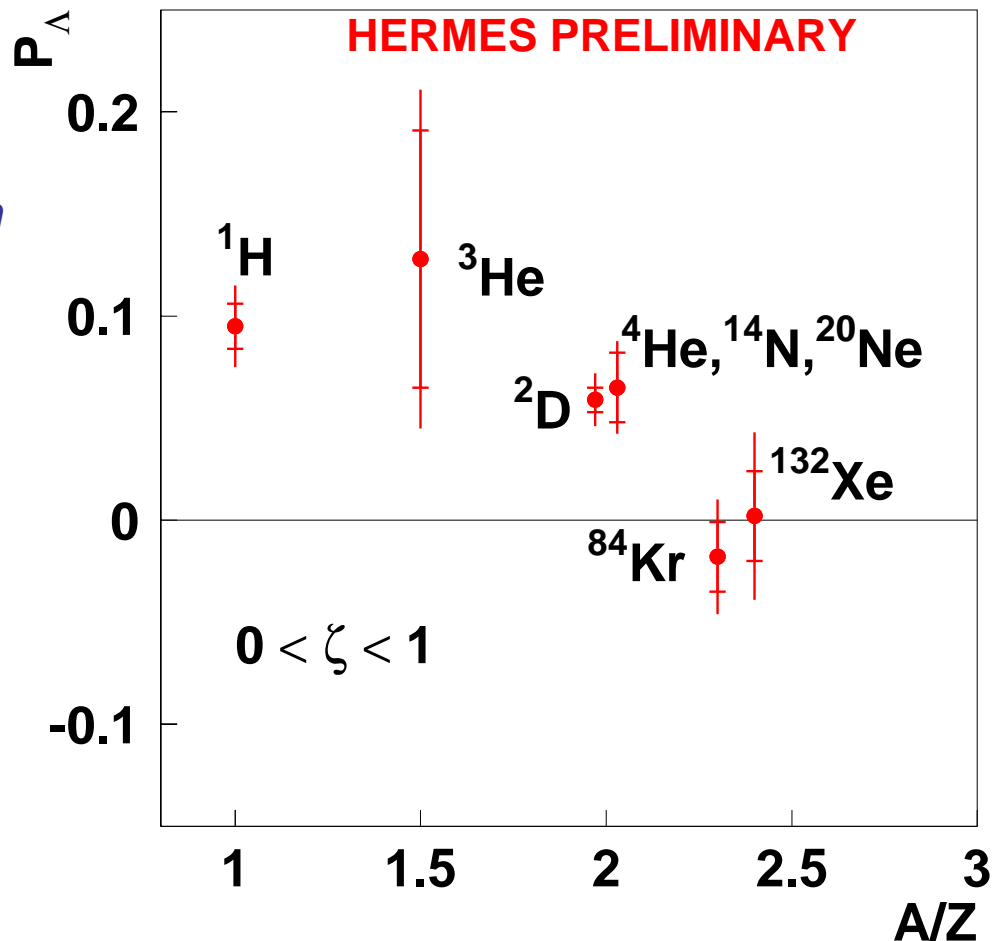
С.Манаенков

Ю.Нарышкин



Data 1996-2005 only,
(2006-2007 will double the statistics)

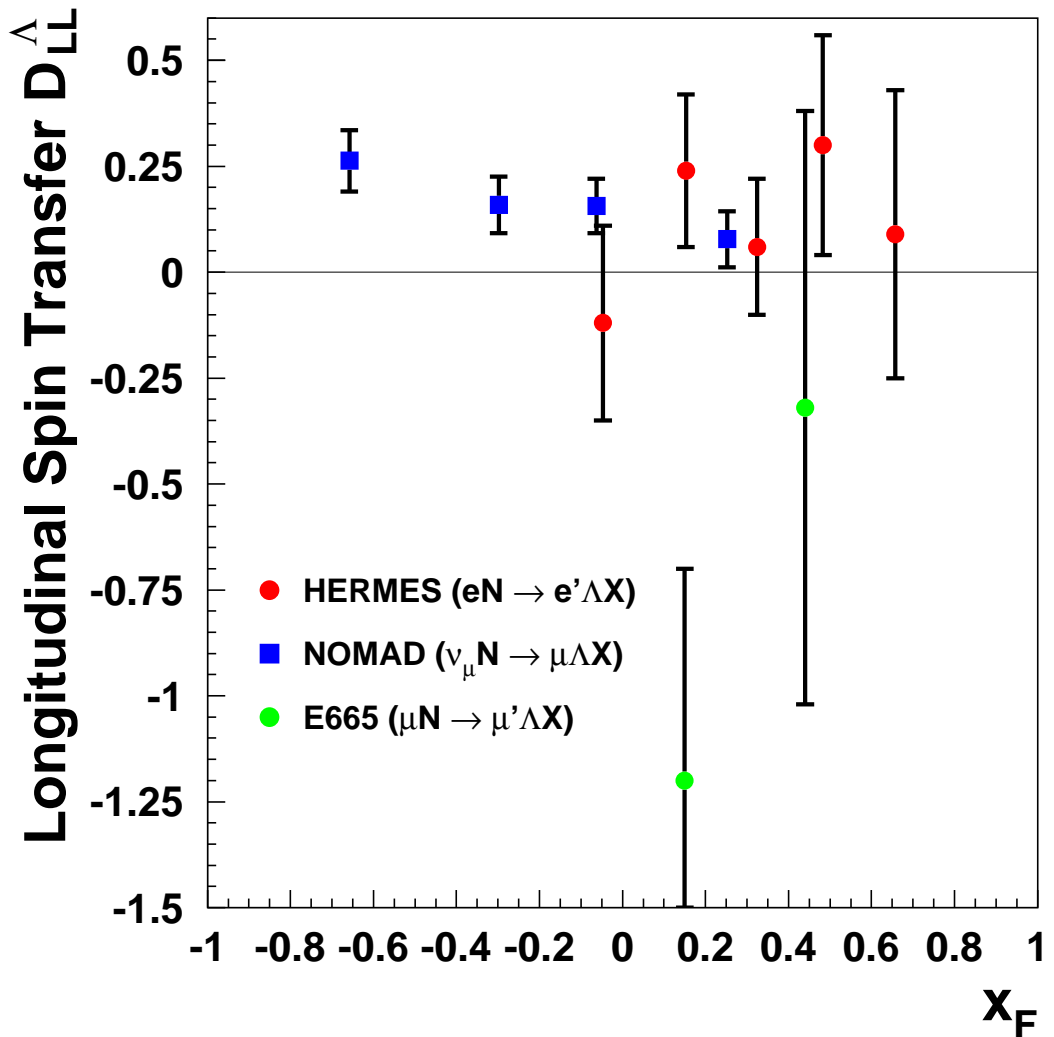
New result → unlike hadron
and heavy ion collisions
strong effect of target on P_Λ



Longitudinal spin-transfer to Λ - hyperon

$$D_{LL}^{\Lambda} = 0.11 \pm 0.10 \pm 0.03$$
$$Q^2 > 0.8 \text{ GeV}^2, x_F > 0,$$
$$\langle z \rangle = 0.45$$

Compatible with
 $\Delta u=0$ *nCQM*
 $\Delta u=-0.09$ *SU(3)*
 $\Delta u=-0.02$ *lattice-QCD*



Вклад ПИЯФ в эксперимент

Hardware:

- **Магнит спектрометра** (разработка концепции, организация производства, частично инвестирование, магнитные измерения карты поля);
- **Пропорциональные камеры** (11тыс.каналов) в зазоре магнита;
- Инвестирование (частично) системы считывания PCOS-4;
- Автоматизированная **система охлаждения** для frontend PCOS-4 и TRD;
- **Система охлаждения** для силикон-стріп детектора Lambda Wheels;

Software

- Разработка программ кодирования события **HERMES Decoding**;
- Разработка программы улучшенного трекинга **HERMES TC**;
- Производство файлов данных **HERMES HRC /DST files**;
- Программа выстройки элементов детектора по трекам, и пр.
- Разработка программ **SLOW CONTROL**;

DATA TAKING

- Поддержание **MCs, TRD**;
- Поддержание силикон.-стріп дет. **LW**;
- Поддержание **DAQ**;
- Газообеспечение ;
- Поддержание **Slow Control**;
- Обработка **сырых данных**;
- Работа в качестве **период координатора**;

DATA ANALYSIS

Summary of HERMES data-taking

$\vec{e} + \vec{p} (\vec{d}) \Rightarrow e' + X$ Inclusive DIS with $Q^2 \geq 1 \text{ GeV}$

$\vec{e} + \vec{p} (\vec{d}) \Rightarrow e' + h + X$ Semi-Inclusive DIS with $Q^2 \geq 1 \text{ GeV}$

$\vec{e} + \vec{p} (\vec{d}) \Rightarrow h + X$ (e.g. $h = \bar{\Lambda}$) quasi-real photoproduction
with $Q^2 \approx 0$

$\vec{e} + p(\vec{p}, \vec{d}) \Rightarrow e' + h, \gamma + p, n$ (e.g. $h = \rho, \phi, \pi \dots$) exclusive reactions

$e + A \Rightarrow e' + \gamma, \pi, K, \Lambda, \dots + X$ unpolarized interaction with nucleus
targets

$A = H, D, {}^3He, {}^4He, N, Ne, Kr$ and Xe

Longitudinal beam polarization $P_B=0.5$

**Longitudinal and transverse
target polarization $P_T=0.8-0.9$**

Unpolarized nucleus targets



$180 \cdot 10^6$
DIS positrons (electrons)
more than $3.5 \cdot 10^3 \text{ pb}^{-1}$
of Integrated Lumi

Поляризация夸克ов в нуклоне (спиновый кризис ??)

$$\Delta\Sigma = 0.12 \pm 0.09 \pm 0.14 \neq 1 !!!$$

Inclusive polarized DIS

$$\Delta\Sigma = 0.33 \pm 0.02(\text{exp}) \pm 0.03(\text{theo})$$

Semi inclusive polarized DIS

evaluated at $0.021 < x < 0.6$

$$\Delta\Sigma = 0.359 \pm 0.026(\text{exp}) \pm 0.018(\text{theo})$$

$$(\alpha_s = 0.29 \pm 0.01 \quad Q_0^2 = 2.5 \text{ GeV}^2)$$

$$S_z = \frac{1}{2} = \frac{1}{2} \Delta\Sigma + \Delta G + L_q + L_g$$

quarks

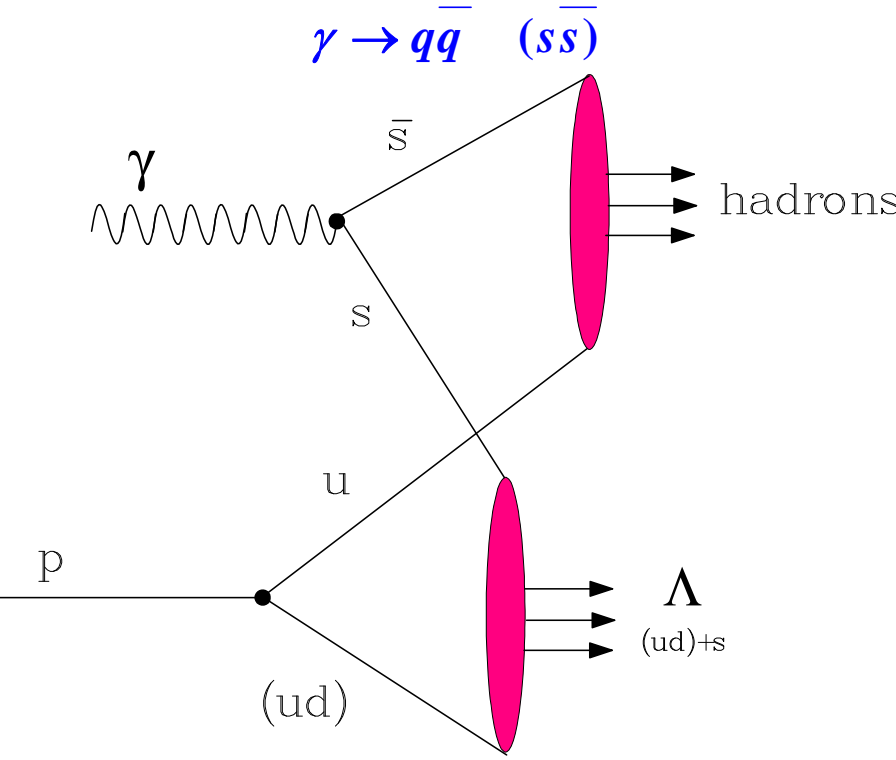
Gluons high PT

$$\frac{\Delta g}{g} = 0.078 \pm 0.034 \pm 0.011$$

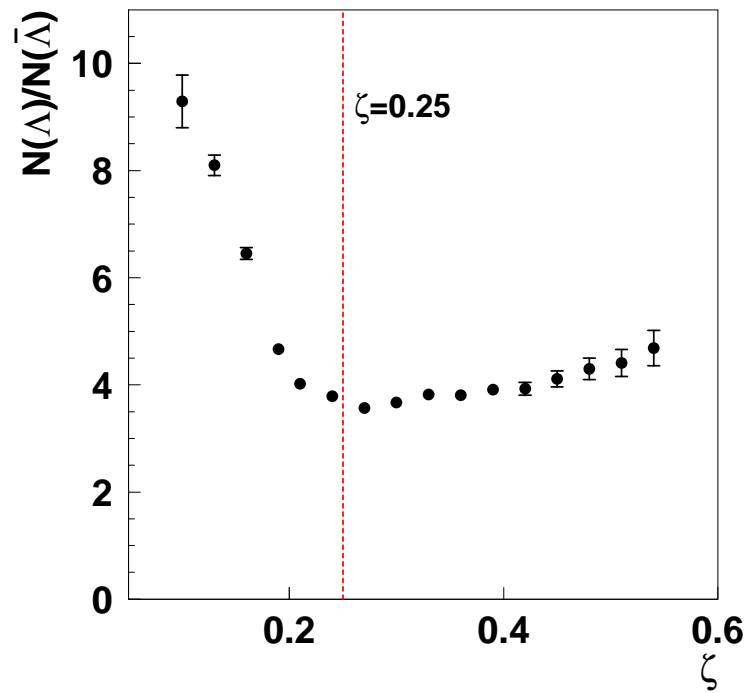
$$\text{at } \langle x \rangle = 0.204$$

Λ photoproduction mechanism by PYTHIA

$$\langle \mathbf{E}_\gamma \rangle = \langle \mathbf{E}_e - \mathbf{E}_{e'} \rangle \simeq 15.6 \text{ GeV}$$



Λ to $\bar{\Lambda}$ yield ratio



$$\zeta^\Lambda \simeq \frac{E_\Lambda}{E_e} < 0.25 \quad \sqrt{t} = 3.31 \text{ GeV}$$



*target (ud)
mechanism*

